

مطالعه استریولوژیک اثر حفاظتی آلفا لیپوئیک اسید بر بافت بیضه پس از تیمار با نانوذرات نقره در موش نژاد NMRI

سید محمدعلی شریعتزاده^۱، ملک سلیمانی مهرنجانی*^۲، فرزانه سلگی^۳، پریسا مالکی^۴

تاریخ دریافت ۱۳۹۹/۰۶/۱۶ تاریخ پذیرش ۱۳۹۹/۱۰/۱۸

چکیده

پیش‌زمینه و هدف: با توجه به نقش نانوذرات نقره در القاء استرس اکسیداتیو و خاصیت آنتی‌اکسیدانتی آلفا لیپوئیک اسید، هدف از این مطالعه بررسی اثر آنتی‌اکسیدانتی آلفا لیپوئیک اسید در کاهش اثرات نامطلوب نانوذرات نقره بر روی بافت بیضه موش‌های بالغ بود.

مواد و روش‌ها: ۲۴ سر موش نر بالغ نژاد NMRI با میانگین وزنی (۵۰۰ mg/kg/day) شامل: کنترل، تیمار با نانوذرات نقره ($n=6$) و تیمار با آلفا لیپوئیک اسید (100 mg/kg/day) و تیمار هم‌زمان آلفا لیپوئیک اسید + نانوذرات نقره تقسیم شد. پس از اتمام دوره تیمار سرم خونی گرفته شد و بیضه راست موش‌ها خارج و توزین شد و پس از مراحل پردازش بافتی به روش هماتوکسیلین رنگ‌آمیزی شد. درنهایت حجم کل بیضه، قطر و ارتفاع اپی‌تلیوم زایشی، تعداد کل سلول‌های جنسی و سرتولی با استفاده از فن‌های استریولوژی مورد ارزیابی قرار گرفت. میزان ظرفیت آنتی‌اکسیدانتی تام (با استفاده از تست FRAP)، سطح مالون‌دی‌آلدهید (MDA) و تست‌وتسترون سرم نیز اندازه‌گیری شد. داده‌ها با روش آنالیز واریانس یک‌طرفه آنالیز و تفاوت میانگین‌ها در حد ($p<0.05$) معنی‌دار در نظر گرفته شد.

یافته‌ها: حجم کل بیضه، قطر اپی‌تلیوم زایشی، ارتفاع اپی‌تلیوم زایشی، تعداد کل سلول‌های اسپرماتید (دراز و گرد)، اسپرماتوسیت و سرتولی در گروه نانوذرات نقره در مقایسه با گروه کنترل به طور معنی‌داری کاهش یافت ($p<0.001$). افزایش معنی‌داری در سطح MDA و کاهش معنی‌داری در میزان ظرفیت آنتی‌اکسیدانتی تام و سطح تست‌وتسترون سرم در گروه نانوذرات نقره نسبت به کنترل یافت شد ($p<0.05$). پارامترهای فوق در گروه تیمار هم‌زمان نانوذرات نقره + آلفا لیپوئیک اسید به طور معنی‌داری نسبت به گروه نانوذرات نقره جبران شد و به حد کنترل رسید.

بحث و نتیجه‌گیری: به نظر می‌رسد که آلفا لیپوئیک اسید نقش حفاظتی در برابر سمیت ناشی از نانوذرات نقره بر بافت بیضه موش داشته باشد، بنابراین آلفا لیپوئیک اسید می‌تواند در بهبود اثرات نامطلوب نانوذرات نقره بر سیستم تولیدمثلی مفید باشد.

واژگان کلیدی: نانوذرات نقره، آلفا لیپوئیک اسید، بیضه، استریولوژی، موش نر

مجله مطالعات علوم پژوهشی، دوره سی و یکم، شماره دوازدهم، ص ۹۰۵-۹۴۴، اسفند ۱۳۹۹

آدرس مکاتبه: اراک-دانشگاه اراک-دانشکده علوم پایه-گروه زیست‌شناسی، تلفن: ۰۹۱۸۱۶۲۹۰۲۶

Email: s-shariatzadeh@araku.ac.ir

از تغییرات متعددی که در سلامت تولیدمثلی آن‌ها ایجاد شده است ناشی گردد. مشکلاتی در تولید، بلوغ، تحرك و قابلیت لقاد اسپرم از جمله دلایل عمدۀ ناباروری مردان محسوب می‌شود (۲). یکی از این عواملی که می‌تواند سبب آسیب به مواد ژنتیکی سلول‌های تولیدمثلی گردد، مواد نانوذرات نقره می‌باشد که این مواد با وجود خواص سودمند و منحصر به‌فرد، ممکن است از طریق

ناباروری از مشکلات جوامع امروزی است که زوج‌های درگیر را هم از نظر پژوهشکی و هم از نظر روانی تحت شعاع قرار می‌دهد. بر اساس مطالعات انجام‌شده سهم مردان در ناباروری ۴۰-۴۵٪ درصد است و عوامل تأثیرگذار مختلفی در آن دخالت دارند که از مهم‌ترین آن‌ها رادیکال‌های آزاد اکسیژن هستند (۱). ناباروری مردان می‌تواند

^۱ دانشگاه اراک، دانشکده علوم پایه، گروه زیست‌شناسی، اراک، ایران

^۲ دانشگاه اراک، دانشکده علوم پایه، گروه زیست‌شناسی، اراک، ایران (نویسنده مسئول)

^۳ کارشناس ارشد زیست‌شناسی جانوری، سلوکی-تکوینی، دانشگاه اراک، دانشکده علوم پایه، گروه زیست‌شناسی، اراک، ایران

^۴ دانشگاه اراک، دانشکده علوم پایه، گروه زیست‌شناسی، اراک، ایران

نور ۱۲ ساعت تاریکی و ۱۲ ساعت روشنایی) و در دمای 21 ± 2 درجه سانتی گراد در قفسه های مجزا نگهداری شد. تعذیه موش ها توسط غذای آماده و استاندارد و بدون محدودیت در آب و خوارک انجام گرفت. این شرایط در طول دوره تیمار برقرار بود، طول دوره تیمار و دوز مصرفی با توجه به مطالعات پیشین صورت گرفته است (۴، ۲۲، ۲۳، ۲۴). پس از توزین، موش ها به صورت تصادفی به ۴ گروه تقسیم شدند (در هر گروه شش رأس موش)؛ گروه کنترل (نرمال سالین دریافت کردن)، گروه آلفا لیپوئیک اسید (۱۰۰ میلی گرم بر کیلوگرم، سیگما، آمریکا)، گروه نانوذرات نقره + آلفا لیپوئیک اسید (۵۰۰ میلی گرم بر کیلوگرم + ۱۰۰ میلی گرم بر کیلوگرم)، گروه نانوذرات نقره (۵۰۰ میلی گرم بر کیلوگرم). تیمارها به صورت تزریق داخل صفاقی برای آلفا لیپوئیک اسید و برای نانوذرات نقره به صورت گواژه به مدت ۳۵ روز انجام گرفت.

وزن بدن و بیضه:

در پایان دوره تیمار، موش ها توزین و سپس توسط دی اتیل اتر بی هوش شدند. پس از کالبدگشایی، با باز کردن اسکروتوم، ناحیه دمی اپیدیدیم چپ جهت بررسی پارامترهای اسپرم، بیضه راست جهت بررسی های استریولوژیکی و در ادامه سرم خونی جهت بررسی ظرفیت آنتی اکسیدانی، بررسی میزان هورمون تستوسترون و میزان مالون دی آلدئید که در زیر به آن ها اشاره می شود مورد استفاده قرار گرفتند (۲۵، ۲۶).

بررسی پارامترهای اسپرمی: قابلیت تحرک اسپرم:

سنجرش قابلیت تحرک اسپرم بر اساس دستورالعمل WHO انجام شد (۲۷). بدین ترتیب که ابتدا ۱۰ میکرومتر از سوسپانسیون محیط کشت و اسپرم روی لام نئوبار منقل و حرکات اسپرم در گروه های مختلف در زیر میکروسکوپ نوری با بزرگنمایی $\times 200$ مورد بررسی قرار گرفت. حداقل ۵ میدان دید میکروسکوپ برای تعیین قابلیت تحرک 200 اسپرم برای هر موش بررسی و درصد اسپرم های دارای حرکت پیش رونده، حرکات درجا و بدون حرکت (ساکن) محاسبه گردید (۲۸).

بررسی ناهنجاری های مورفو لوژیکی اسپرم:

جهت بررسی مورفو لوژی اسپرم، لامهای اوزین-نکروزین تهیه شده برای بررسی قابلیت حیات اسپرم مورد استفاده قرار گرفت. و برای این منظور بر اساس دستورالعمل WHO رنگ آمیزی اوزین-نکروزین صورت گرفت (۲۷). به طور خلاصه اوزین 1 درصد و نکروزین 10 درصد در نرمال سالین آماده شد. نسبت یک حجم سوسپانسیون اسپرم و دو حجم اوزین را مخلوط کرده و پس از ۳۰ ثانیه نگهداری در انکوباتور 37 درجه سانتی گراد، حجم مساوی از محلول نکروزین به آن اضافه و گسترش نازکی از نمونه بر روی لام

خوارکی، تنفسی یا پوست وارد بدن شوند و درنتیجه منجر به تغییرات و اثرات بیولوژیکی مضر شوند. آزمایش های انجام شده بر روی مدل های حیوانی نشان داده اند که نانومواد نقره توئابی عبور از سد خونی بیضه ای را داشته و در سلول های سوماتیک و ژرمنیال بیضه جمع آوری شوند. تجمع قابل توجهی از این مواد در سلول های سرتولی و هسته های اسپرماتوسیت گزارش شده است (۳). تحقیقات نشان می دهد که نانوذرات باعث ایجاد ناهنجاری هایی در سیستم تولید مثالی نر می شود. به عنوان مثال در موش های که تحت تأثیر نانوذرات قرار گرفته بودند، گزارش هایی مبنی بر کاهش حجم بیضه، حجم لوله های منی ساز و حجم بافت بینایینی (۴، ۵، ۶)، تعداد اسپرم، تحرک اسپرم (۷، ۸)، میزان ظرفیت آنتی اکسیدانی سرم (۹، ۱۰)، میزان هورمون تستوسترون (۱۱)، تعداد سلول های جنسی (۱۲، ۱۳، ۱۴) و همچنین افزایش میزان مالون دی آلدئید سرم (۱۵، ۱۶) از طریق القای استرس اکسیداتیو ناشی از نانوذرات ارائه شد.

آن تی اکسیدان ها موادی هستند که واکنش زنجیره ای اکسیداتیو را می شکنند و بدین وسیله استرس اکسیداتیو را کاهش می دهند (۱۷). آلفا لیپوئیک اسید یا اسید تیوکتیک یک آنتی اکسیدان زیستی قوی است و به عنوان یک کوفاکتور در کمپلکس آنزیمی دهیدروژناز میتوکندریایی در متabolیسم و تولید انرژی فعالیت دارد (۱۸). این ماده از یک طرف می تواند به طور مستقیم رادیکال های پروکسیل تولید شده در مرحله آبی و غشای میکروزوومی را از بین برده، از طرف دیگر با احیای آسکوربیل و کرومافون کسیل موجب افزایش قدرت سایر آنتی اکسیدان ها ویتامین (E-C) (۱۹). در دستگاه تناسلی نر، نقش آنتی اکسیدانی آلفا لیپوئیک اسید در مهار نمودن اثرات مخرب رادیکال های آزاد در بیضه و اسپرم گزارش شده است (۲۰). با توجه به اثرات سمی نانوذرات نقره در القای استرس اکسیداتیو (۲۱) و نقش آلفالیپوئیک اسید به عنوان یک آنتی اکسیدانت قوی (۱۸)، این طور می توان فرض کرد که این آنتی اکسیدان قادر باشد اثرات زیان بار نانوذرات نقره را خنثی نماید.

بنابراین این پژوهش باهدف بررسی اثر محافظتی آلفا لیپوئیک اسید بر تغییرات بافت بیضه و پارامترهای اسپرمی در موش پس از تیمار با نانوذرات نقره طراحی شد. (کد اخلاقی (IR.ARAKMU.REC.1397.221

مواد و روش کار حیوان و تیمارها:

برای انجام این تحقیق تجربی، تعداد 24 سر موش نر بالغ از نژاد NMRI با میانگین وزنی 36 ± 2 گرم از انسیتو پاستور ایران خردیاری شد و در خانه حیوانات دانشگاه اراک تحت شرایط طبیعی

برآورد تعداد سلول‌های اسپرماتوگونی، اسپرماتوسیت، اسپرماتید (دراز و گرد) و سرتولی:

از روش Optical dissector و از قالب مخصوص شمارش یا (unbiased counting frame) استفاده شد. قالب شمارش به طور تصادفی بر میدان‌های دید انتخاب شده از برش‌های ۲۰ میکرونی (بزرگنمایی ۱۰۰۰ برابر قرار داده شد)، از هر طرف (بالا و پایین) تا عمق ۵ میکرون بخش‌های دارای آرتفیکت در نظر گرفته شد و در آن بخش‌ها شمارش انجام نگرفت. سلول‌های انتخاب شده توسط قالب در عمق‌های دیگر شمارش شدند. (میانگین ۱۳۰ تا ۱۵۰ عدد از هر سلول). عمق‌های موردنظر با دستگاه میکروکیتور مدل (HEIDEN HAIN (ND 221 B) ساخت آلمان به دست آمد. سپس چگالی عددی سلول‌ها به دست آمد و در حجم نهایی بیضه ضرب شد و بدین گونه شمار سلول‌ها تخمين زده شد (۳۳).

بررسی‌های بیوشیمیایی:

برای بررسی‌های بیوشیمیایی از سرم خونی که از قلب موش آسپیره و پس از سانتریفیوژ در دمای -۸۰- سانتی‌گراد نگهداری شده بود استفاده شد (۳۴).

بررسی میزان مالون دی آلدئید سرم:

ابتدا یک محلول TCA-TBA-HCL، شامل تری کلرواستیک اسید (TCA)، تیوباربیوتیک اسید (TBA)، ۰/۱۵W/V و ۰/۰۳۷۵W/V) و اسید کلریدریک ۰/۲۵ نرمال تهیه شد. سپس ۰/۵ میلی‌لیتر از سرم خون با ۱ میلی‌لیتر از محلول TBA-HCL-TCA مخلوط شد و نمونه‌ها به مدت ۱۵ دقیقه در بن ماری جوش قرار داده شدند. بعد از خارج کردن نمونه‌ها از بن ماری، به سرعت با استفاده از آب سرد خنک شده و به مدت ۱۰ دقیقه سانتریفیوژ شدند. مایع رویی به دقت جدا شد و جذب آن در ۵۳۲ نانومتر در برابر blank که حاوی تمام ترکیبات به استثنای نمونه بود، خوانده شد. غلظت (MDA) با استفاده از ضریب خاموشی $\times 10^5 \text{ M}^{-1} \text{ Cm}^{-1}$ (extinction coefficient) آن که عبارت است از $1/156$ محاسبه گردید و بر حسب نانومول بر میلی‌لیتر (nmol/ml) بیان شد (۳۵، ۳۶).

سنجهش تستوسترون سرم خون:

سنجهش میزان غلظت تستوسترون خون، مطابق دستورالعمل کیت الیزا (شرکت DRG آلمان) و بر حسب ng/mol انجام شد. برای سنجهش میزان تستوسترون، نمونه‌ها در چاهک ریخته شد و سپس محلول تستوسترون و محلول آنتی‌تستوسترون اضافه شد و به مدت ۹۰ دقیقه در ۳۷ درجه سانتی‌گراد انکوبه گردید. چاهک‌ها سپس با آب دیونیزه شستشو شد و سوبسترا به هر چاهک افزوده گردید و برای مدت ۲۰ دقیقه انکوبه شد. سپس با افزودن محلول متوقف

ایجاد گردید. پس از خشک شدن گسترش، با استفاده از میکروسکوپ نوری با بزرگنمایی ۱۰۰× تعداد ۱۰۰ اسپرم شمارش شد و میزان ناهنجاری‌ها به صورت درصد بیان شد.

بررسی تعداد اسپرم:

پس از گذشت ۱۰ دقیقه از انتقال ابی دیدیم به محیط کشت Ham's F10 و رهای اسپرم‌ها از ابی دیدیم، ۱ میلی‌لیتر از مخلوط محیط کشت و اسپرم با ۹ میلی‌لیتر فرمالین ۰/۲٪ رقیق و فیکس شد. برای بررسی تعداد اسپرم از لام هموسیوتومتر (نیوبار) استفاده شد، اسپرم‌های دارای ناحیه‌ی سر، ناحیه‌ی میانی و دم که در مرکز مریع و چهارگوشی مریع مرکزی قرار داشتند، با استفاده از میکروسکوپ نوری و بزرگنمایی ۴۰× شمارش شدند. شمارش اسپرم بر اساس دستورالعمل سازمان جهانی سلامت (WHO) انجام شد (۲۷، ۲۸).

بررسی‌های استریولوژیکی:

به منظور بررسی‌های استریولوژیکی، حجم بیضه راست پس از خارج کردن از بدن و وزن نمودن، به روش شناورسازی (Immersion) محاسبه شد (۳۵). پس از شستشوی بافت بیضه در نرمال سالین، در فیکساتیو تازه تهیه شده (Modified Davidson's Fluid) برای ۷ روز فیکس گردید. که در طی این مدت یکبار فیکساتیو تعویض گردید (۳۰، ۳۹، ۴۰). سپس از روش IUR (Isotropic Orientator uniform Random) برای به دست آوردن برش‌های Orientator (az) بیضه استفاده شد (۳۱). پس از آن با دستگاه پاساز، پاسازبافتی انجام گرفت و سپس برش‌ها در بلوک پارافینی گمارده شدند و توسط دستگاه میکروتوم برش‌های ۵ و ۲۰ میکرونی از آن‌ها تهیه شد که با روش هماتوکسیلین رنگ‌آمیزی شدند. برای برآورد میزان چروکیدگی بافتی دو یا سه برش تروکار از برش‌های IUR پیش از پاسازبافتی تهیه و شاعع آن‌ها اندازه‌گیری شد. پس از مراحل پاساز بافتی و رنگ‌آمیزی، شاعع آن‌ها دوباره اندازه‌گیری و میزان چروکیدگی محاسبه شد. حجم بیضه در میزان چروکیدگی ضرب و به این ترتیب حجم کل بیضه محاسبه شد (۳۲).

محاسبه حجم لوله‌های منی ساز، حجم بافت بینایی، حجم کل بیضه:

برای محاسبه حجم لوله‌های منی ساز و بافت بینایی به طور میانگین ۵ میدان دید از هر اسلاید ۵ میکرونی با میکروسکوپ Olympus DP12 (بزرگنمایی ۱۰۰) انتخاب شد و با قرار دادن تصادفی پروب نقطه بر روی میدان دید نقاط برخورد کرده به کل بافت و نقاط برخورد کرده به لوله‌های منی ساز و بافت بینایی شمارش شد و بدین ترتیب چگالی حجمی هر یک برآورد شد سپس با ضرب چگالی حجمی هر یک در حجم نهایی بیضه حجم هر یک محاسبه شد (۳۱).

Tukey مورد تجزیه و تحلیل آماری قرار گرفت و تفاوت میانگین‌ها در سطح $P < 0.05$ معنی‌دار در نظر گرفته شد.

یافته‌ها

ارزیابی قابلیت تحرک اسپرم:

میانگین درصد اسپرم‌های دارای حرکت پیش‌روندۀ در گروه نانوذرات نقره نسبت به گروه کنترل کاهش معنی‌داری یافت ($P < 0.001$). از طرفی میانگین درصد اسپرم‌های دارای حرکت پیش‌روندۀ در گروه نانوذرات نقره + آلفالیپوئیک اسید نسبت به گروه نانوذرات نقره افزایش معنی‌داری نشان داد ($P < 0.001$). به عبارت دیگر در گروه نانوذرات نقره + آلفالیپوئیک اسید، آلفالیپوئیک اسید توانست اثرات مخرب نانوذرات نقره را در خصوص درصد اسپرم‌های پیش‌روندۀ در مقایسه با گروه نانوذرات نقره به طور معنی‌داری جبران نماید. میانگین درصد اسپرم‌های دارای حرکات درجا ($P < 0.001$) و ساکن ($P < 0.001$) در گروه نانوذرات نقره نسبت به گروه کنترل افزایش معنی‌داری یافت. از طرفی میانگین درصد اسپرم‌های دارای حرکت ساکن ($P < 0.001$) در گروه نانوذرات نقره + آلفالیپوئیک اسید در مقایسه با گروه نانوذرات نقره کاهش معنی‌داری نشان داد (جدول ۱).

کننده، واکنش پایان یافت و جذب آن با دستگاه الایزا در طول موج ۴۵۰ نانومتر خوانده شد (۳۷).

بررسی میزان ظرفیت آنتی‌اکسیدانی تام به روش :FRAP

محلول استاندارد سولفات آهن ($\text{FeSO}_4 \cdot 7\text{H}_2\text{O}$) با غلظت 1Mm تهیه و از آن رقت‌های مختلف تهیه و سپس منحنی استاندارد سولفات آهن در آزمایش FRAP رسم شد. سپس فرمول رگرسیون حاصل از منحنی استاندارد که در آن y برابر با جذب خوانده شده و x برابر با غلظت می‌باشد، به دست آمد. برای سنجش TAC بافت گروه‌های مختلف از فرمول رگرسیون حاصل از منحنی استاندارد استفاده شد. اندازه‌گیری ظرفیت آنتی‌اکسیدانی (TAC) بدین گونه است که $100\text{ }\mu\text{l}$ میکرولیتر از پلاسما را در کووت‌ها ریخته سپس مقدار 3 ml از معرف آماده FRAP به کووت‌ها اضافه و پس از 4 دقیقه جذب آن‌ها را در طول موج 593 نانومتر در مقابل بلانک خوانده شد. سپس با استفاده از فرمول رگرسیون حاصل در منحنی استاندارد میزان FRAP نمونه‌های خونی بر حسب میکرومول بر گرم به دست آمد (۳۸).

روش آماری آنالیز داده‌ها:

داده‌های حاصل از این تحقیق توسط نرم افزار SPSS ورژن ۱۶ و روش آنالیز واریانس یک طرفه (One way ANOVA) و تست آماری

جدول (۱): مقایسه میانگین قابلیت تحرک اسپرم در گروه‌های مختلف، ۳۵ روز پس از تیمار بانانوذرات نقره (500 mg/kg/day) و آلفالیپوئیک اسید (100 mg/kg/day). مقدار به صورت $\text{mean} \pm \text{SD}$ می‌باشند. میانگین‌های با کد حرف‌های مختلف، دارای تفاوت معنی‌دار نسبت به یکدیگر می‌باشد ($P < 0.05$ و $P < 0.001$). (one way ANOVA, Tukey's test)

گروه‌ها	پیش‌روندۀ (درصد)	درجا (درصد)	ساکن (درصد)
کنترل	$70/63 \pm 1/96$ (a)	$17/41 \pm 2/59$ (a)	$13/34 \pm 2/02$ (a)
نانوذرات نقره	$49/78 \pm 1/04$ (b)	$22/36 \pm 1/42$ (b)	$13/11 \pm 2/84$ (b)
نانوذرات نقره+آلفالیپوئیک اسید	$69/28 \pm 1/11$ (ab)	$16/73 \pm 2/91$ (a)	$12/37 \pm 3/07$ (a)
آلفالیپوئیک اسید	$72/66 \pm 1/14$ (a)	$13/28 \pm 2/18$ (ab)	$11/16 \pm 3/90$ (a)

از مقایسه میانگین تعداد اسپرم در گروه نانوذرات نقره نسبت به گروه کنترل کاهش معنی‌داری مشاهده شد ($P < 0.001$). از طرفی میانگین تعداد اسپرم در گروه نانوذرات نقره + آلفالیپوئیک اسید در مقایسه با گروه نانوذرات نقره افزایش معنی‌داری نشان داد ($P < 0.001$). به عبارت دیگر در گروه نانوذرات نقره + آلفالیپوئیک اسید، آلفالیپوئیک اسید توانست اثرات مخرب نانوذرات نقره را در خصوص کاهش تعداد اسپرم نسبت به گروه نانوذرات نقره به طور معنی‌داری جبران نماید (جدول ۲).

ارزیابی ناهنجاری‌های مورفولوژیکی اسپرم:

میانگین درصد اسپرم‌های با مورفولوژی طبیعی در گروه تیمار با نانوذرات نقره در مقایسه با گروه کنترل کاهش معناداری یافت ($P < 0.001$). در گروه نانوذرات نقره + آلفالیپوئیک اسید میزان مورفولوژی طبیعی اسپرم تقریباً شبیه به گروه کنترل بود (جدول ۲).

بررسی تعداد اسپرم:

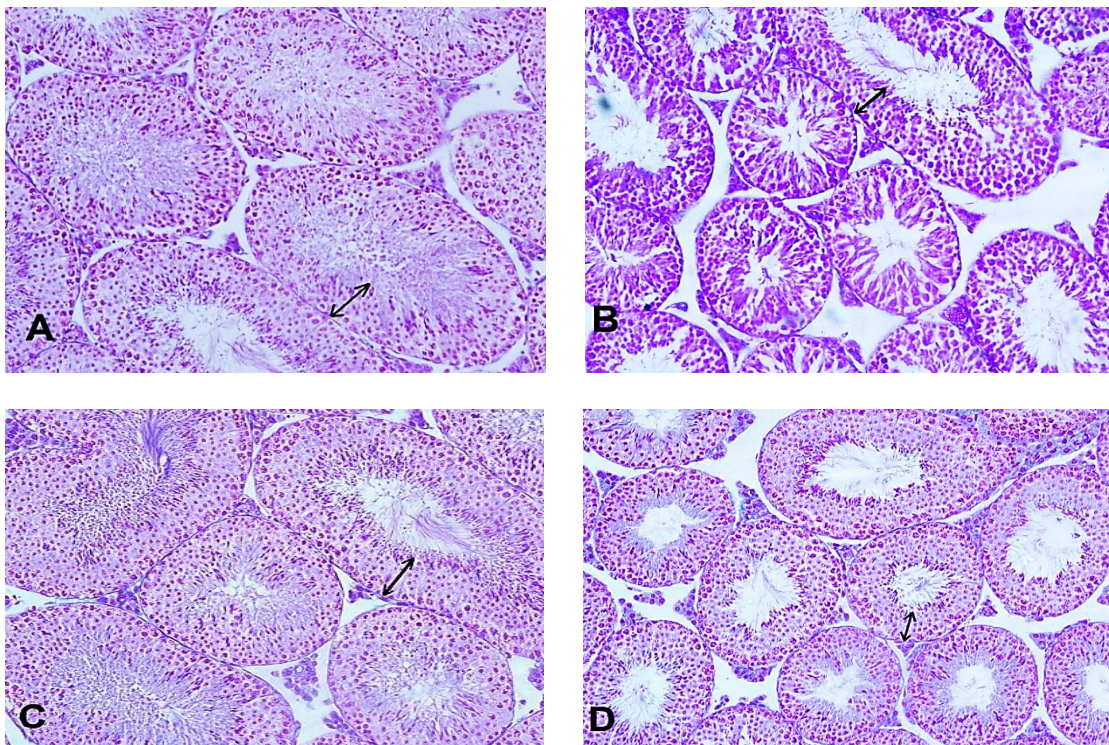
جدول (۲): مقایسه میانگین مورفولوژی طبیعی اسپرم و تعداد اسپرم در گروههای مختلف

گروهها	تعداد اسپرم	مورفولوژی طبیعی اسپرم
کنترل	۹/۴۸±۱/۰۰ (a)	۸۸/۴۷±۱/۲۲ (a)
نانوذرات نقره	۶/۸۱±۱/۰۰ (b)	۴۰/۷۴±۵/۲۶ (b)
نانوذرات نقره + آلفالیپوئیک اسید	۹/۱۷±۰/۶۵ (a)	۹۰/۳۹±۱/۳۶ (a)
آلفالیپوئیک اسید	۱۰/۴۹±۰/۵۱ (a)	۸۵/۷۶±۱/۴۸ (a)

گروه‌ها کاهش یافته بود (شکل B). در بیضه موش‌های گروه آلفالیپوئیک اسید ساختار لوله‌های منی‌ساز تقریباً مشابه گروه کنترل بود (شکل C). بررسی‌های بافت‌شناسی بیضه موش گروه نانوذرات نقره + آلفالیپوئیک اسید نشان داد که اکثر تغییرات تخریبی و بی نظمی‌های ایجاد شده توسط نانوذرات نقره با تجویز آلفالیپوئیک اسید برگشت و تعدیل یافته بود. به طوری که آپیتلیوم زایشی لوله‌های منی‌ساز دارای ساختار طبیعی بود (شکل D).

بررسی‌های استریولوژیکی:

در بیضه موش‌های گروه کنترل آپیتلیوم زایشی لوله‌ها شکل طبیعی خود را حفظ کرده و سلول‌های آن دارای نظم و به هم پیوستگی طبیعی بود (شکل A). در بیضه موش‌های گروه نانوذرات نقره افزایش وسعت بافت بینابینی دیده شد. در این گروه ارتفاع اپیتلیوم زایشی نسبت به سایر گروه‌ها کاهش یافته و پیوستگی آن تا حدودی از دست رفته بود. تراکم اسپرم‌ها در لومن لوله منی‌ساز در گروه نانوذرات نقره نسبت به گروه کنترل و سایر



شکل (۱): تصویرهای میکروسکوپی از بافت بیضه موش‌های بالغ در گروههای مختلف تیمار شده با نانوذرات نقره (۵۰۰ mg/kg/day) و آلفالیپوئیک اسید (۱۰۰ mg/kg/day). (پرش‌های ۵ میکرونی، با رنگ‌آمیزی هماتوکسیلین، بزرگنمایی ×۲۰).

نشان نداد، ($P < 0.001$). و میانگین وزن بیضه موش‌ها نسبت به گروه کنترل تغییر معنی‌داری داشت ($P < 0.05$) (جدول ۳).

بررسی وزن موش و بیضه:

همچنین، میانگین داده‌های مربوط به وزن بدن موش‌ها پس از تیمار در گروه نانوذرات نسبت به گروه کنترل کاهش معنی‌داری

جدول (۳): مقایسه میانگین وزن بدن و بیضه موش در گروههای مختلف

گروهها	میانگین وزن موش در پایان دوره تیمار (gr)	میانگین وزن موش قبل از تیمار (gr)	میانگین وزن بیضه موش (gr)
کنترل	۳۶/۵۰ ± ۱/۳۷ (a)	۳۶/۲۰ ± ۱/۵۳ (a)	۰/۱۲۸ ± ۰/۰۳ (a)
نانوذرات نقره	۳۷/۱۰ ± ۱/۴۷ (a)	۳۵/۰۷ ± ۱/۴۰ (b)	۰/۱۰۷ ± ۰/۰۱۱ (b)
نانوذرات نقره+آلالیپوئیک اسید	۳۵/۸۶ ± ۱/۷۷ (a)	۳۶/۱۶ ± ۱/۹۷ (a)	۰/۱۱۴ ± ۰/۰۱۰ (ab)
آلالیپوئیک اسید	۳۶/۶۶ ± ۱/۵۴ (a)	۳۶/۳۳ ± ۱/۸۴ (a)	۰/۱۲۵ ± ۰/۰۰۲ (a)

منی ساز ($p < 0.01$) نسبت به گروه کنترل دیده شد. حجم بافت بینابینی، نانوذرات نقره افزایش معنی داری در میانگین حجم در گروه نانوذرات نقره ایجاد نداشت (جدول ۴).

بررسی حجم لوله های منی ساز، حجم بافت بینابینی، حجم کل بیضه: در گروه نانوذرات نقره افزایش معنی داری در میانگین حجم بافت بینابینی ($p < 0.01$) و کاهش معنی دار در حجم لوله های

جدول (۴): حجم بافت بینابینی، حجم لوله های منی ساز، حجم بیضه در گروههای مختلف

گروهها	میانگین حجم کل بیضه mm ³	میانگین حجم لوله های منی ساز mm ³	میانگین حجم بافت بینابینی mm ³
کنترل	۸۲/۱۶ ± ۲/۴۱ (a)	۶۷/۹۹ ± ۱/۳۷ (a)	۱۳/۲۷ ± ۱/۷۵ (a)
نانوذرات نقره	۶۲/۱۱ ± ۵/۸۸ (b)	۶۱/۶ ± ۱/۳۳ (b)	۱۷/۲۶ ± ۱/۴۴ (b)
نانوذرات نقره+آلالیپوئیک اسید	۷۲/۸۵ ± ۶/۸۸ (ab)	۶۵/۷۵ ± ۲/۰۷ (ab)	۱۴/۲۵ ± ۱/۵۲ (ab)
آلالیپوئیک اسید	۸۱/۴۵ ± ۱/۶۱ (a)	۶۹/۹۳ ± ۱/۵۰ (c)	۱۱/۴۹ ± ۱/۰۱ (a)

اسپرماتید گرد و دراز و سرتولی نسبت به گروه کنترل تفاوت معنی داری نداشت ($p > 0.05$). در واقع آلالیپوئیک اسید در گروه تیمار هم زمان نانوذرات نقره و آلالیپوئیک اسید موجب افزایش پارامترهای مذکور نسبت به گروه نانوذرات نقره شد و توانسته تا حدی آن را به سطح گروه کنترل برساند. سلول های سرتولی در گروه تیمار با نانوذرات نقره نسبت به گروه کنترل کاهش معنی داری را نشان داد ($p < 0.01$). (جدول ۵).

بررسی تعداد سلول های اسپرماتوگونی، اسپرماتوسیت، اسپرماتید (دراز و گرد) و سرتولی: میانگین تعداد سلول های اسپرماتوگونی در بین گروه های مختلف اختلاف معنی داری نداشت ($p > 0.05$). در حالی که میانگین تعداد سلول های اسپرماتوسیت، اسپرماتید گرد و دراز و سرتولی در گروه تیمار با نانوذرات نقره نسبت به گروه کنترل کاهش معنی داری را نشان داد ($p < 0.01$). در گروه تیمار هم زمان نانوذرات نقره + آلالیپوئیک اسید میانگین تعداد سلول های اسپرماتوسیت،

جدول (۵): تعداد سلول های اسپرماتوگونی، اسپرماتوسیت، اسپرماتید (گرد و دراز)، سرتولی

گروهها	میانگین تعداد سلول های اسپرماتوسیت $\times 10^6$	میانگین تعداد اسپرماتید گرد $\times 10^6$	میانگین تعداد دراز $\times 10^6$	میانگین تعداد سرتولی $\times 10^6$	سلول های اسپرماتید	سلول های	تعداد سلول های	میانگین
کنترل	(a) ۰/۴ ± ۶/۹۷	(a) ۱/۱ ± ۲۲/۴۸	(a) ۱/۴ ± ۳۷/۸۵	(a) ۰/۷۹ ± ۳۷/۱۰	(a) ۰/۲۱ ± ۳/۴۵			
نانوذرات نقره	(a) ۰/۳ ± ۶/۵۹	(b) ۰/۷۲ ± ۱۷/۵۷	(b) ۳/۵ ± ۳۱/۹۳	(b) ۱/۱۰ ± ۲۸/۲۵	(b) ۰/۲۱ ± ۲/۷۰			
نانوذرات نقره+آلالیپوئیک اسید	۶/۷۳ ± ۰/۳(a)	۲۲/۷۱ ± ۰/۷۳(ab)	۳۵/۴۷ ± ۰/۲۹(ab)	۳۳/۳۲ ± ۰/۶۰ (ab)	۲/۹۸ ± ۰/۳۶(ab)			
آلالیپوئیک اسید	۶/۸۸ ± ۰/۴(a)	۲۳/۲۰ ± ۰/۸۱(a)	۳۶/۵۰ ± ۰/۸۹(a)	۳۶/۳۶ ± ۰/۴(a)	۳/۱۴ ± ۰/۱۷(a)			

کنترل کاهش معنی‌داری (۱ $\times 10^{-4}$) نشان داد. در گروه نانوذرات نقره + آلفالیپوئیک اسید، آلفالیپوئیک اسید توانست میزان هورمون تستوسترون را نسبت به گروه نانوذرات نقره به‌طور معنی‌داری افزایش دهد (۱ $\times 10^{-4}$) (جدول ۶).

بررسی میزان ظرفیت آنتی‌اکسیدانی:

میزان ظرفیت آنتی‌اکسیدانی در گروه نانوذرات نقره نسبت به گروه کنترل کاهش معنی‌داری (۱ $\times 10^{-4}$) نشان داد. در گروه نانوذرات نقره + آلفالیپوئیک اسید، آلفالیپوئیک اسید توانست میزان ظرفیت آنتی‌اکسیدانی را نسبت به گروه نانوذرات نقره به‌طور معنی‌داری افزایش دهد (۱ $\times 10^{-4}$) (جدول ۶).

بررسی‌های بیوشیمیایی:

بررسی میزان مالون دی‌آلدئید:

در گروه نانوذرات نقره نسبت به گروه کنترل افزایش معنی‌داری در مقایسه با میزان مالون دی‌آلدئید سرم (۱ $\times 10^{-4}$) مشاهده شد. از طرفی در گروه نانوذرات نقره + آلفالیپوئیک اسید، آلفالیپوئیک اسید توانست میزان مالون دی‌آلدئید را نسبت به گروه نانوذرات نقره به‌طور معنی‌داری کاهش داده و به حد گروه کنترل برساند (جدول ۶).

بررسی میزان تستوسترون سرم خون:

میزان تستوسترون سرم در گروه نانوذرات نقره نسبت به گروه

جدول (۶): مقایسه غلظت تستوسترون، ظرفیت آنتی‌اکسیدانی تام، غلظت مالون دی‌آلدئید سرم در گروه‌های مختلف

گروه‌ها	غلظت مالون دی‌آلدئید سرم	ظرفیت آنتی‌اکسیدانی تام	غلظت تستوسترون
کنترل	۴/۶۳ ± ۰/۶۰ (a)	۰/۱۱ ± ۰/۰۱ (a)	۲/۱۵ ± ۰/۱۱۴ (a)
نانوذرات نقره	۵ ± ۰/۴۶ (b)	۰/۰۹ ± ۰/۰۱ (b)	۱/۱۲ ± ۰/۱۰۲ (b)
نانوذرات نقره + آلفالیپوئیک اسید	۴/۹۷ ± ۰/۴۴ (a)	۰/۱۰ ± ۰/۰۱ (ab)	۱/۹۲ ± ۰/۲۴۹ (ab)
آلفالیپوئیک اسید	۳/۴۳ ± ۰/۳۱ (a)	۰/۱۳ ± ۰/۰۲ (a)	۲/۱۱ ± ۰/۰۵۳ (a)

کاهش تعداد سلول‌های جنسی نیز دلیلی بر کاهش حجم لوله‌های منی‌ساز است. از طرفی آلفالیپوئیک اسید بر آسیب‌های بافت بیضه و تشکیل رادیکال آزاد و آپوپتوز اثر حفاظتی دارد. همچنین آلفالیپوئیک اسید باعث کاهش حجم بافت بینابینی می‌شود (۲۳). در پژوهش ما، میانگین تعداد سلول‌های اسپرماتوسیت، اسپرماتید دراز و گرد و سلول‌های سرتولی در گروه نانوذرات نقره نسبت به گروه کنترل کاهش معنی‌داری داشت. اما تعداد سلول‌های اسپرماتوگونی در بین گروه‌های مختلف تفاوت معنی‌داری نشان نداد. در طی مراحل مختلف اسپرماتوژن در پستانداران، بهمنظور حذف سلول‌های غیرطبیعی، آپوپتوز رخ می‌دهد و یکی از ویژگی‌های طبیعی دودمان اسپرماتوژن و هموستاز بیضه محاسبه می‌شود (۴۷). از طرفی، نانوذرات نقره باعث کاهش معناداری در تعداد سلول‌های سرتولی، اسپرماتید و اسپرماتوژنید می‌شود. همچنین با ریزش اسپرماتیدها به درون لومن باعث کاهش ارتفاع اپیتیلیوم زایشی می‌شود (۴۸).

آلفالیپوئیک اسید با حفظ اتصال بین سلول‌های سرتولی و جنسی را در اپی‌تليوم زایشی می‌تواند در پایدار سازی غشاهای سلولی و حفظ روند اسپرماتوژن نقش داشته باشد. مطالعات دیگری مبتنى بر نقش آلفالیپوئیک اسید در افزایش تعداد سلول‌های جنسی وجود دارد (۴۹،۵۰). در این پژوهش تغییری در تعداد سلول‌های

بحث

نانوذرات نقره باعث کاهش معناداری در تحرک و تعداد اسپرم و همچنین مورفوولوژی اسپرم نسبت به گروه کنترل می‌گردد (۷،۳۹). همچنین تعداد و تحرک اسپرم در گروه نانوذرات نقره + آلفالیپوئیک اسید نسبت به گروه نانوذرات نقره افزایش معناداری یافت (۴۰). کاهش تحرک اسپرم می‌تواند تحت تأثیر رادیکال آزاد رخ دهد که با پراکسیداسیون لیپیدهای غشا اسپرم و ایجاد استرس اکسیداتیو منجر به تخلیه سریع ATP به داخل سلولی و در نتیجه با کاهش انرژی در دسترس باعث کاهش تحرک اسپرم می‌گردد (۴۱،۴۲). کاهش تعداد اسپرم ناشی از کاهش جمعیت سلول‌های اسپرماتوژنیک و همچنین کاهش تستوسترون می‌باشد (۴۳). از طرفی آلفالیپوئیک اسید با خاصیت آنتی‌اکسیدانی و احیای سایر آنتی‌اکسیدان‌ها مانند ویتمامین C-E منجر به افزایش تعداد و تحرک و مورفوولوژی طبیعی اسپرم می‌شود (۴۴).

در گروه نانوذرات نقره افزایش معنی‌داری در میانگین حجم بافت بینابینی و کاهش معنی دار در حجم لوله‌های منی‌ساز نسبت به گروه کنترل دیده شد. از طرفی حجم بافت بینابینی و لوله‌های منی‌ساز در گروه نانوذرات نقره + آلفالیپوئیک اسید در حد گروه کنترل افزایش یافت. درواقع نانوذرات نقره با کاهش سلول‌های جنسی و سرتولی باعث کاهش حجم لوله‌های منی‌ساز می‌شود (۴۴،۴۵).

نیستند و سلول های جنسی نایاب غ به صورت زود هنگام از سلول های سرتولی جدا می شوند. اختلال در هریک از مراحل وابسته به هورمون تستوسترون می تواند منجر به اختلال در اسپرماتوزن و ناباروری گردد (۵۸). از طرفی، آفالیپوئیک اسید با تقویت سیستم آنتی اکسیدانی ومهار رادیکال های آزاد منجر به افزایش سطح تستوسترون خون گردید (۵۹،۶۰).

ظرفیت آنتی اکسیدانی تام سرم در گروه نانوذرات نقره نسبت به گروه کنترل کاهش معنی داری یافت (۹،۱۰). آفالیپوئیک اسید با تقویت سیستم آنتی اکسیدانی ومهار رادیکال های آزاد منجر به افزایش ظرفیت آنتی اکسیدانی سرم خون گردید (۵۰،۵۵). در این پژوهش ۴ گروه مورد نظر انتخاب گردید که با توجه به منابع و مقالات چاپ شده، به گروه هشتم (کنترل ۲) به دلیل اینکه تأثیر لازم را نداشته است، نیازی نبوده است.

نتیجه گیری

با توجه به نتایج این پژوهش نانوذرات نقره منجر به، کاهش معنی داری در حجم کل بیضه، حجم لوله های منی ساز، جمعیت سلول های اسپرماتوزنیک از قبیل اسپرماتوسیت، اسپرماتید گرد و دراز، سطح تستوسترون خون، ظرفیت آنتی اکسیدانی تام سرم، تعداد اسپرم و حرکت پیش رونده اسپرم در گروه نانوذرات نقره نسبت به گروه کنترل مشاهده شد. از طرفی آفالیپوئیک اسید توانست با جلوگیری از اثرات مخرب نانوذرات نقره در گروه نانوذرات نقره + آفالیپوئیک اسید، تمامی پارامترهای فوق را تقریباً در حد گروه کنترل رساند. لذا، آفالیپوئیک اسید قادر به جلوگیری از آسیب های استرس اکسیداتیو حاصل از نانوذرات نقره می باشد. از این رو توصیه می شود که آفالیپوئیک اسید در جلوگیری از عوارض نامطلوب نانوذرات نقره مورد استفاده قرار گیرد.

تشکر و قدردانی

با تشکر از راهنمایی های استاد گرانقدر جناب آقای دکتر سید محمدعلی شریعت زاده که در مراحل مختلف این تحقیق مرا همراهی کردند.

References:

- Makker K, Agarwal A, Sharma R. Oxidative stress & male infertility. Indian J Med Res 2009;129(4):357-67.
- El-Toukhy T, Braude P. Male infertility and ICSI. Current Obstetrics & Gynaecology 2002 Oct 1;12(5):276-85.
- Morishita Y, Yoshioka Y, Satoh H, Nojiri N, Nagano K, Abe Y, et al. Distribution and histologic effects of

اسپرماتوگونی رخ نداد که می تواند به علت دوز مصرفی نانوذرات نقره و طول مدت تیمار و همچنین مقاومت بالای این سلول ها باشد. در این مطالعه، وزن بیضه در گروه نانوذرات نقره نسبت به گروه کنترل کاهش معنی داری نشان داد که این کاهش وزن بیانگر این است که نانوذرات نقره باعث ایجاد سمیت سلولی از طریق ایجاد استرس اکسیداتیو و اثر بر آنزیم های متابولیک می باشد. وزن اندام یکی از حساس ترین شاخص های تعیین کننده یک ماده در بدن می باشد و می تواند منعکس کننده اثرات آن ماده بر سلامت وضعیت ایمنی با توجه به سوخت و ساز بدن می باشد (۵۱).

در مطالعه ما، غلظت مالون دی آلدید سرم خون در گروه نانوذرات نقره نسبت به گروه کنترل افزایش معنی داری داشت. همچنین در گروه نانوذرات نقره + آفالیپوئیک اسید، آفالیپوئیک اسید توانست میزان پراکسیداسیون لیپیدی و همچنین میزان مالون دی آلدید را در مقایسه با گروه نانوذرات نقره به طور معنی داری کاهش دهد. در واقع، محصول نهایی پراکسیداسیون لیپیدی در اثر تخریب اکسیداتیوهای اسید چرب، MDA می باشد (۴۱،۵۲) MDA به دنبال واکنش رادیکال های آزاد ROS با اسیدهای چرب غیر اشباع ایجاد می شود که به همراه افزایش در سلول ها کاهش سیستم دفاع آنتی اکسیدانی رخ می دهد (۵۳). در مطالعه ما کاهش سطح MDA در گروه آفالیپوئیک اسید و نانوذرات نقره + آفالیپوئیک اسید تاکیدی بر اثرات آنتی اکسیدانی وضد پراکسیداسیون لیپیدی آفالیپوئیک اسید است که در مطالعات دیگران نیز گزارش شده است (۷،۲۴،۵۴،۵۵).

در مطالعه حاضر نانوذرات نقره توانست میزان تستوسترون سرم خون را نسبت به گروه کنترل به طور معنی داری کاهش دهد. نانوذرات نقره با تأثیر بر بیان ژن های کد کننده آنزیم مربوط به بیوسنتر تستوسترون 3B-HSD, 17B-HSD باعث کاهش فعالیت این آنزیمها شود و در نهایت منجر به کاهش میزان تستوسترون سرم خون می گردد (۵۶). تستوسترون هورمون اصلی بیضه است که تحت کنترل هورمون LH از سلول های لیدیگ موجود در بافت بینابینی بیضه ترشح می شود و جنس آن استرئوئیدی است (۵۷). در غیاب این هورمون سلول های جنسی قادر به پیش روی فراتر از تقسیم میوز

intravenously administered amorphous nanosilica particles in the testes of mice. Biochem Biophys Res Commun 2012;420(2):297-301.

- Azza A. Evaluation of the Testicular Alterations Induced By Silver Nanoparticles in Male Mice: Biochemical, Histological and Ultrastructural Studies. Res J Pharm Biol Chem Sci 2014;5(4):1558-89.5. Zhang XF, Choi

- YJ, Han JW, Kim E, Park JH, Gurunathan S, et al. Differential nanoreprotoxicity of silver nanoparticles in male somatic cells and spermatogonial stem cells. International journal of nanomedicine 2015;10:1335.
6. Almansour M, Jarrar Q, Battah A, Jarrar B. Histomorphometric Alterations Induced in the Testicular Tissues by Variable Sizes of Silver Nanoparticles. J Reprod Med 2017;62(5-6):317-23.
 7. Yavari M, Talebi AR, Rezaei ZS, Razavi SS. Effects of Different Doses of Silver Nanoparticles on Sperm Parameters, Chromatin Structure and DNA Integrity in Mice. Journal of cell & tissue 2015; 6(2):177-185nj.
 8. Layali E, Tahmasbpour E, Jorsaraei SG. Effects of Silver Nanoparticles on Lipid Peroxidation and Quality of Sperm Parameters in Male Rats. J Babol Univ Med Sci 2016; 18(2):48-55.
 9. Asare N, Instanes C, Sandberg WJ, Refsnes M, Schwarze P, Kruszewski M, et al. Cytotoxic and genotoxic effects of silver nanoparticles in testicular cells. Toxicology 2012; 291(1-3): 65-72.
 10. Ranjbar A, Ataei Z, Khajavi F, Ghasemi H. Effects of silver nanoparticle (Ag NP) on oxidative stress biomarkers in rat. Nanomedicine journal 2014;1(3):205-10.
 11. Rezaei-Zarchi S, Taghavi-Foumani H, Negahdary M. Effect of Silver Nanoparticles on the LH, FSH and Testosterone Hormones in Male Rat. J Babol Univ Med Sci 2013; 15(1): 25-9.
 12. Aydos K, Güven MC, Can B, Ergün A. Nicotine toxicity to the ultrastructure of the testis in rats. BJU international 2001;88(6):622-6.
 13. Collodel G, Federico MG, Geminiani M, Martini S, Bonechi C, Rossi C, et al. Effect of trans-resveratrol on induced oxidative stress in human sperm and in rat germinal cells. Reprod Toxicol 2011;31(2):239–46.
 14. Ahamed M, Karns M, Goodson M, Rowe J, Hussain SM, Schlager JJ, et al. DNA damage response to different surface chemistry of silver nanoparticles in mammalian cells. Toxicol Appl Pharmacol 2008; 233(3): 404-10.
 16. Colagar AH, Pouramir M, Marzony ET, Jorsaraei SG. Relationship between seminal malondialdehyde and sperm parameters quality in the fertile and infertile men. Arch Biol Technol 2009; 52(6):1387-92.
 17. Gharagozloo P, Aitken RJ. The role of sperm oxidative stress in male infertility and the significance of oral antioxidant therapy. Hum Reprod 2011;26(7): 1628-40.
 18. Dicter N, Madar Z, Tirosh O. α -Lipoic acid inhibits glycogen synthesis in rat soleus muscle via its oxidative activity and the uncoupling of mitochondria. J Nutr 2002;132(10):3001-6.
 19. Moini H, Packer L, Saris NE. Antioxidant and prooxidant activities of α -lipoic acid and dihydrolipoic acid. Toxicol Appl Pharmacol 2002;182(1):84-90.
 20. Heitzer T, Finckh B, Albers S, Krohn K, Kohlschutter A, Meinertz T. Beneficial effects of alpha-lipoic acid and ascorbic acid on endotheliumdependent, nitric oxide-mediated vasodilation in diabetic patients: relation to parameters of oxidative Stress. Free Radic Biol Med 2001;31(1):53-61.
 21. Sichani M, Flynn JL, Linderman JJ, Kirschner DE. Differential risk of tuberculosis reactivation among anti-TNF therapies is due to drug binding kinetics and permeability. J Immunol 2012 188(7):3169-78.
 22. Yeni D, Fidan AF, Ciğerci IH, Konuk M, Avdatek F, Gündoğan M. Effect of α -lipoic acid on sperm quality, reproductive tract measures in thinner exposed rats. Andrologia 2012;44:74-80.
 23. Ozbal S, Ergur BU, Erbil G, Tekmen I, Bagriyanik A, Cavdar Z. The effects of α -lipoic acid against testicular ischemia-reperfusion injury in rats. ScientificWorldJournal 2012;2012:489248.
 24. Pinar N, Çakırca G, Özgür T, Kaplan M. The protective effects of alpha lipoic acid on methotrexate induced testis injury in rats. Biomed Pharmacother 2018;97:1486-92.
 25. Mandarim DL. Stereological tools in biomedical research. J An Acad Bras Cienc 2003; 75(4): 469–86.

26. Soleimani Mehranjani M, Mahmoudi M. Stereology: principles, techniques and its application in histology. Arak: Arak Univesity; 2014. pp. 978-964- 7320-69-6. (Persian)
27. WHO. World Health Organization (WHO)laboratory manual for the examination of humansemen and sperm-cervical mucus interaction. Cambridge University Press; 1999.
28. Momeni HR, Daneshpajoh F. Protective effect of vitamin E on sperm Parameters in adult rat treated eith para-nonylphenol. Journal of Cell & Tissue (JCT) 2012;2(4):415-24.
29. Latendresse JR, Warbritton AR, Jonassen H, Creasy DM. Fixation of testes and eyes using a modified Davidson's fluid: comparison withBouin's fluid and conventional Davidson's fluid. J Toxicol Pathol2002; 30(4): 524–33.
30. Howroyd P, Hoyle-Thacker R, Lyght O, Williams D, Kleymenova E. Morphology of the fetal rat testis preserved indifferent fixatives. J Toxicol pathol 2005; 33(2):300-4.
31. Howard C, Reed M. Unbiased Stereology:Three Dimentional Measurment in Microscopy. J Anat 1999; 194: 153-7.
32. Hoseini L, Roozbeh J, Sagheb M, Karbalay-Doust S, Noorafshan A. Nandrolonedecanoate increases the volume butnot the length of the proximal and distal convolutedtubules of the mouse kidney. J Micron 2009; 40(2):226-30.
33. Peng B, Zhang RD, Dai XS, Deng XZ, Wan Y, Yang ZW. Quantitative (stereological) study of the effects of vasectomy on spermatogenesis in rhesus monkeys (*Macaca mulatta*). Reproduction 2002; 124(6): 847– 56.
34. Dolatabadi AA, zarchii SR. The effect of prescription of different Dexamethasone doses on reproductive system. Biomedical Research 2015; 26(4): 656-60.
35. Buege JA, Aust SD. Microsomal lipid peroxidation. Methods Enzymol 1978; 52: 302-10.
36. Esterbauer H, Cheeseman KH. Determination of aldehydic lipid peroxidation product; Malondialdehyde and 4-hydroxynonenal. Methods Enzymol 1990;186:407-21.
- 37.Saremi A, Changizi Ashtiani S, Kalantari A. The combination of vitamin E supplementation and intensive exercise on testicular oxidative stress and spermatogenesis in male rats. Sport Physiology 2014;6(23):43-54.
38. Müller L, Fröhlich K, Böhm V. Comparative antioxidant activities of carotenoids measured by ferric reducing antioxidant power (FRAP), ABTS bleaching assay (aTEAC), DPPH assay and peroxy radical scavenging assay. Food Chem 2011; 129: 139–48.
39. Miresmaeli SM, Halvaei I, Fesahat F, Fallah A, Nikonahad N, Taherinejad M. Evaluating the role of silver nanoparticles on acrosomal reaction and spermatogenic cells in rat. Iran J Reprod Med 2013; 11(5): 423-430.
40. Razi A, Talebi AR, Poorjab F, Rezaei ZS, Razavi SS, Shahmoradi RH. Effects of silver nanoparticles on sperm parametrts and reactive oxygen species in the mouse serum and seminal fluid. Journal of cell & tissue 2015;5(4): 393-400.
41. Allamaneni SS, Agarwal A, Nallella KP, Sharma RK, Thomas Jr AJ, Sikka SC. Characterization of oxidative stress status by evaluation of reactive oxygen species levels in whole semen and isolated spermatozoa. Fertil Steril 2005;83(3):800-3.
42. Jones R, Mann T, Sherins R. Proxidative breakdown of phospholipids in human spermatozoa,spermicidal properties of fatty acid peroxides, and protective action of seminal plasma. Fertil Steril 1979; 31(5):531-7.
43. Kasahara E, Sato E, Miyoshi M, Konoka R, Hiramoto K, Sasaki J. Role of oxidative stress in germ cell apoptosis induced by di(2-ethylhexyl) phthalate. Biochem J 2002;365: 849-56.
44. Nagda G, Bhatt DK. Alleviation of lindane induced toxicity in testis of Swiss mice (*Mus musculus*) by

- combined treatment with vitamin C, vitamin E and lipoic acid. Indian J Exp Biol 2011;49(3):191-9.
45. Tramer F, Rocco F, Micali F, Sandri G, Panfili E. Antioxidant Systems in Rat Epididymal Spermatozoa. Biology of reproduction 1998; 59:753-8.
46. Russell LD, Ettlin RA, Hikim AP, Clegg ED. Histological and histopathological evaluation of the testis. Cache River Press, Clearwater, Florida; 1990.
47. Rodriguez I, Ody C, Araki K, Garcia I, Vassalli P. An early and massive wave of germinal cell apoptosis is required for the development of functional spermatogenesis. EMBO J 1997;16(9): 2262-70.
48. Bradich-Stolle L, Hussain S, Schlager JJ, Hofmann MC. In vitro cytotoxicity of nanoparticles in mammalian germline stem cells. Toxicol Sci 2005; 88(2): 412-9.
49. Kontush A, Frinckh B, Karten B, Kohlschutter A, Beisiegel U. Antioxidant and proxidant activity of alpha-tocopherol in human plasma and low density lipoprotein. J Lipid Res 1996; 37:1436-48.
50. Selvakumar E, Prahalathan C, Sudharsan PT, Varalakshmi P. Protective effect of lipoic acid on cyclophosphamide-induced testicular toxicity. Clinica Chimica Acta 2006;367(1-2):114-9.
51. Al-Mansour MM, Ibrahim EM, Al-Foheidi ME, Kazkaz GA. The prognostic value of tumor-infiltrating lymphocytes in triple-negative breast cancer: a meta-analysis. Breast Cancer Res Treat 2014;148(3):467-76.
52. Badade Z, Samant P. Role of oxidative Stress in male Infertility. Journal of Biomedical Sciences and research 2011;3(2):385-91.
53. Sanocka D, Kurpisz M. Reactive oxygen species and sperm cells. Reproductive Biology and Endocrinology 2004;2(1):1.
54. Lebda M, Gad S, Gaafar H. Effects of lipoic acid on acrylamide induced testicular damage. Materia socio-medica 2014;26(3):208.
55. Prahalathan C, Selvakumar E, Varalakshmi P. Protective effect of lipoic acid on adriamycin-induced testicular toxicity. Clinica chimica acta 2005;360(1-2):160-6.
56. Welsh Jr TH, Bambino TH, Hsueh AJ. Mechanism of Glucocorticoid-induced Suppression of Testicular Androgen Biosynthesis In Vitro. Biology of reproduction 1982;27(5):1138-46.
57. Weinbaeuer GF, Luetjens CM, Simoni M, Nieschlag E. Physiology of Testicular Function. In: Nieschlag E, Behre HM. Andrology. Berlin, Heidelberg: Springer;2010.
58. Walker WH. Testosterone signaling and the regulation of spermatogenesis. Spermatogenesis 2011; 1:116-20.
59. Gawish AM. The Protective Role of Alpha Lipoic Acid Against pesticides Induced testicular toxicity. (Histopathological and Histochemical Studies). Life Sci J 2010;7:117-24.
60. Jana K, Dutta A, Chakraborty P, Manna I, Firdaus SB, Bandyopadhyay D, et al. Alpha-lipoic acid and N-acetylcysteine protects intensive swimming exercise-mediated germ-cell depletion, pro-oxidant generation, and alteration of steroidogenesis in rat testis. Mol Reprod Dev 2014;81(9):833-50.

STEREОLOGICAL STUDY OF THE PROTECTIVE EFFECT OF ALPHA-LIPOIC ACID ON THE TESTIS TISSUE AFTER TREATMENT WITH SILVER NANOPARTICLES IN THE NMRI MOUSE

Seyyed Mohammad Ali Shariatzadeh¹, Malek Soleimani Mehranjani M^{2}, Farzaneh Solgi³, Parisa Maleki⁴*

Received: 05 September, 2020; Accepted: 07 January, 2021

Abstract

Background & Aims: Given the role of silver nanoparticles on oxidative stress and antioxidant alpha-lipoic acid, this research aimed to study the simultaneous treatment of silver nanoparticles and alpha-lipoic acid in mice testis tissue.

Materials & Methods: 24 adult male mice (NMRI) were used with an average weight of 36 ± 2 in 4 groups ($n=6$): Control, treatment with silver nanoparticles (500 mg/kg/day), treatment with alpha lipoic acid (100 mg/kg/day), and simultaneous treatment silver nanoparticles+ alpha-lipoic acid divided. After treatment, the serum samples were taken and right testis was removed, fixed, sectioned, and stained according to Hematoxylin and eosin method. The total volume of testis, and its diameter and height of the germinal epithelium, total number spermatids, spermatocytes, sertoli cells with stereological method were estimated. The total antioxidant capacity (FRAP test), levels of malondialdehyde (MDA), and serum testosterone were measured. Data were analyzed with One-way ANOVA and $p<0.05$ was considered statistically significant.

Result: The total volume of testis, diameter and height of the germinal epithelium, total number spermatids, spermatocytes, sertoli cells significantly decreased in silver nanoparticles group compared to the control group ($p<0.001$). A significant increase was observed in the level of MDA and a significant decrease was found in total antioxidant capacity and serum testosterone levels in silver nanoparticles group compared to control group ($p<0.001$). The above parameters were partially compensated in silver nanoparticles+ alpha lipoic acid group compared to silver nanoparticles group.

Conclusion: The alpha-lipoic acid seems to have a protective role in silver nanoparticles induced toxicity in testis tissue. So, alpha lipoic acid may be useful in improving the adverse effects of silver nanoparticles on male reproductive system.

Keywords: silver nanoparticles, alpha-lipoic acid, testis, stereology, male mice

Address: Department of Biology, Faculty of Basic Sciences, Arak University, Arak, Iran.

Tel: +989181629026

Email: s-shariatzadeh@araku.ac.ir

SOURCE: STUD MED SCI 2021; 31(12): 955 ISSN: 2717-008X

¹ Department of Biology, Faculty of Basic Sciences, Arak University, Arak, Iran

² Department of Biology, Faculty of Basic Sciences, Arak University, Arak, Iran (Corresponding Author)

³ M.Sc. of Development Biology, Department of Biology, Faculty of Science, Arak University, Arak, Iran

⁴ Department of Biology, Faculty of Basic Sciences, Arak University, Arak, Iran